

مقاومسازی برشی تیرهای بتن مسلح به روش نصب نزدیک سطح با استفاده از میله‌های ساخته شده از الیاف کربن

میثم جلالی^۱، فرشید جندقی علایی^{۲*}، محمد کاظم شربتدار^۳

۱- استادیار، دانشکده فنی و مهندسی، دانشگاه دامغان

۲- دانشیار، دانشکده مهندسی عمران، دانشگاه صنعتی شهرورد

۳- دانشیار، دانشکده مهندسی عمران، دانشگاه سمنان

farshidja@yahoo.com

تاریخ دریافت: ۱۳۹۱/۰۴/۲۲

تاریخ پذیرش: ۱۳۹۱/۰۱/۱۶

چکیده- مطالعه آزمایشگاهی انجام شده، تأثیر مقاومسازی برشی تیرهای بتن مسلح به کمک روش نصب نزدیک سطح با استفاده از میله‌های ساخته شده از صفحات الیاف کربن را ارزیابی می‌کند. برای ایجاد تأخیر در شروع جاذبگی میله از تیر، مهار انتهایی جدیدی برای آن‌ها پیشنهاد شده که آزمایش می‌شود. در این مقاله، نتایج آزمایش‌های انجام شده روی شش عدد تیر بتن مسلح دوسر ساده با مقطع مستطیل شکل که در پرش، مقاومسازی شده است، ارائه می‌شود. پاسخ نیرو- تغییرمکان همه‌ی نمونه‌ها و تغییرات کرنش در قسمت‌های مختلف ارائه خواهد شد. همچنین کارکرد و مدهای گسیختگی تیرها بررسی خواهد شد. نتایج آزمایش‌ها بیانگر از کارامدی میله‌ها و مهارهای پیشنهادی بوده است؛ به گونه‌ای که افزایش ظرفیت باربری نمونه‌های مقاومسازی شده روش پیشنهادی، ۲۵ تا ۴۸ درصد نمونه مرجع به دست آمده است و در نتیجه استفاده از مهارهای انتهایی پیشنهادی، انرژی جذب شده به وسیله‌ی نمونه‌ها، افزایش چشمگیری پیدا کرده است. در انتها، مدل تحلیلی Rizzo and De Lorenzis برای برآورد مشارکت سامانه مقاومسازی این پژوهش ارائه شده است که در مقایسه با نتایج آزمایشگاهی، تخمین قابل قبولی به دست می‌دهد.

واژگان کلیدی- مهار انتهایی FRP، میله BMCF، مقاومسازی برشی، تیرهای بتن مسلح، روش نصب نزدیک سطح

الیاف^۱ (FRP) که روی سطوح بتنی چسبانده می‌شوند، بیشتر مورد توجه قرار گرفته است [۳ و ۹] (این روش از این پس در این مقاله به نام روش EB^۲ نامیده می‌شود). مقاومسازی تیرهای بتن مسلح به روش EB با سه روش (الف) نصب صفحات FRP روی سطوح جانبی تیر، (ب) نصب صفحات روی سطوح جانبی و زیر تیر (به صورت U شکل) و

۱- مقدمه

مقاومسازی سازه‌های بتن مسلح بنا به دلایلی چون افزایش بارهای وارد شده در دوره بهره‌برداری، آسیب یا از بین رفتن سازه و کمبودهای احتمالی در طراحی و ساخت، ضروری است [۱ و ۲]. معمولاً افزون بر مقاومسازی خمی تیرهای بتن مسلح [۳ و ۴]، مقاومسازی برشی [۵، ۶ و ۷] نیز لازم است. بین روش‌هایی که برای مقاومسازی برشی تیرهای بتن مسلح به کار می‌رود [۸ و ۹]، استفاده از پلیمرهای مسلح به

1- Fiber Reinforced Polymer
2- Externally Bonded

از نوارهای FRP با روش NSM مقاآم سازی برشی کردند. بر پایه‌ی یافته‌های این محققین، که اثر درصد و زاویه تمایل نوارهای FRP را بررسی کرده‌اند، گسیختگی تیر در نمونه‌هایی که با درصد پایین FRP مقاآم سازی شده بودند، به خاطر جدا شدن مستقل نوارهای FRP، همراه بخش‌هایی از بتن بوده است. همچنین با افزایش درصد FRP، طرفیت FRP باربری تیر افزایش یافته و جدا شدن گروهی میله‌های FRP از بتن بوده است. همچنین با افزایش درصد FRP، طرفیت FRP باربری تیر افزایش یافته و جدا شدن گروهی میله‌های FRP از بتن بوده است. همچنین با افزایش درصد FRP، طرفیت FRP باربری تیر افزایش یافته و جدا شدن گروهی میله‌های FRP از بتن پوشش به عنوان مد گسیختگی غالب معرفی شده است (این مد گسیختگی در نتایج آزمایش‌های دیگری که به‌وسیله‌ی همین محققین انجام شده [۱۷] نیز گزارش شده است). Rahal و همکارانش نیز اثر استفاده از میله‌های FRP را در مقایسه با آرماتورهای فولادی در روش NSM بررسی کردند [۱۸]. تیرهای آزمایش شده به‌وسیله‌ی ایشان، دچار گسیختگی خمشی شد ولی شکست برشی در آن‌ها رخ نداد.

با استناد به مطالب گفته‌شده، می‌توان گفت در مواردیکه برای مقاآم سازی برشی تیرها به روش NSM از درصدهای FRP پایین استفاده شده، جداشده‌گی مستقل میله‌های FRP یکی از دلایل اصلی گسیختگی برشی تیرهای بوده است (در مقابل جداشده‌گی گروهی میله‌های FRP در مواردی که از درصدهای بالای FRP برای مقاآم سازی برشی استفاده شده). در چنین شرایطی، بهبود رفتار چسبندگی FRP با روش‌هایی چون مهار FRP، در به تعویق انداختن جداشده‌گی FRP و به دنبال آن، گسیختگی تیر، تأثیر زیادی خواهد داشت.

در این پژوهش، میله‌های ساخته شده از صفحات الیاف کربن به نام^۴ BMCF، همراه مهارهای جدید انتهایی آن‌ها استفاده می‌شود. این میله‌ها از ترکیب الیاف خشک کربن، میله چوبی کم مقاومت به عنوان هسته مرکزی و چسب

ج) دورپیچ کامل تیر به‌وسیله‌ی صفحات FRP، انجام می‌شود [۵ و ۶]. گسیختگی نهایی همه‌ی تیرهای تعویت شده به روش الف و بیشتر تیرهای تعویت شده به روش ب، به خاطر جداشده‌گی^۱ صفحات FRP از سطح بتن گزارش شده است [۶]. نتایج تحقیقات نشان می‌دهد که حتی در برخی از مواردیکه از روش ج برای مقاآم سازی برشی استفاده می‌شود، گسیختگی برشی تیر به خاطر جداشده‌گی FRP رخ داده است [۵ و ۱۱]. روش جدیدی که در سال‌های نزدیک برای مقاآم سازی برشی تیرهای بتن مسلح به کار می‌رود، روش نصب نزدیک سطح^۲ (NSM) است [۱۲ و ۱۳]. در این روش، میله‌ها یا نوارهای FRP به کمک چسب‌های ویژه داخل شیارهای تعییه شده سطح بتن نصب می‌شوند. در روش NSM از میله‌های FRP با سطح مقطع دایره‌ای [۱۳] و [۱۴] یا نوارهای FRP با سطح مقطع مستطیل شکل [۱۷-۱۴] استفاده شده است. DeLorenzis و Rizzo^۳ اثر نوع FRP استفاده شده، نواری یا میله‌ای، را بررسی کرده‌اند. آن‌ها نتیجه‌گیری کردند که استفاده از نوارهای FRP به جای نوع میله‌ای، منجر به کاهش مشارکت FRP در برابری برشی خواهد شد و دلیل آن را سختی بیشتر در رفتار لغزش-چسبندگی نوارهای FRP (در مقایسه با میله‌های FRP) دانستند. درصد مصالح FRP به کار رفته در آزمایش‌های این محققین در قیاس با تحقیقات مشابه [۱۵ و ۱۸] زیاد بوده است و مد گسیختگی بیشتر نمونه‌های آن‌ها، جدا شدن گروهی میله‌ها یا نوارهای FRP همراه بتن پوشش^۴ آرماتورهای برشی فولادی در جواب تیر، گزارش شده است [۱۴]. میزان FRP استفاده شده و مقاومت بتن، نقش اساسی در رفتار گسیختگی تیرهای این محققین داشته است. Diass و Barros^۵ [۱۵ و ۱۶] تیرهای T-شکل بزرگ مقیاس را با استفاده

1- Debonding

2- Near-Surface-Mounted

3- Cover Concrete

ضعیف و همچنین در وسط تیر در نظر گرفته می‌شود. یک تیر تقویت نشده به عنوان نمونه مرجع و پنج تیر دیگر به عنوان نمونه‌های تقویت شده که همگی در دهانه ضعیف خود طرح مقاوم سازی دارند، در نظر گرفته می‌شوند. در ادامه، مشخصات نمونه‌های تقویت شده تشریح می‌شود.

در نمونه VB، از میله‌های قائم BMCF و در نمونه IB، از میله‌های مایل BMCF با زاویه ۴۵ درجه نسبت به محور طولی تیر برای مقاوم سازی برشی تیر استفاده می‌شود. درصد استفاده از میله‌های BMCF در دو نمونه VB و IB VBA یکسان است. دو نمونه تقویت شده دیگر، نمونه‌های IBA است که به ترتیب، مشابه نمونه‌های VB و IB در نظر گرفته می‌شوند؛ با این تفاوت که در طرح مقاوم سازی آنها، از میله‌های BMCF با مهارهای انتهایی، که در ادامه معرفی می‌شوند، استفاده می‌شود. جدول ۱، خلاصه جزئیات مقاوم سازی نمونه‌ها را نشان می‌دهد. تیرها به صورت دوسر ساده و تحت اثر بارگذاری متمرکز تک نقطه‌ای در وسط دهانه قرار می‌گیرند. بارگذاری به صورت یک طرفه و به طور استاتیکی روی نمونه‌های با سن ۷۵ روز اعمال می‌شود.

۳- مشخصات مصالح

۳-۱- مصالح پایه

یک طرح اختلاط مشترک برای همه نمونه‌ها به کار می‌رود. مقاومت فشاری بتن در ۲۸ روز و همچنین در زمان انجام آزمایش‌ها، به وسیله‌ی نمونه‌های استوانه‌ای استاندارد به قطر ۱۵۰ و ارتفاع ۳۰۰ میلی‌متر اندازه‌گیری می‌شود. مشخصات مکانیکی آرماتورها نیز با آزمایش کشش مستقیم روی نمونه‌هایی به طول ۳۵۰ میلی‌متر به دست می‌آید. جدول ۲، مقادیر متوسط به دست آمده از آزمایش‌ها را نشان می‌دهد.

برای چسباندن میله‌های BMCF به بتن، چسب

اپوکسی ساخته می‌شود. مهم‌ترین ویژگی این میله‌ها، که در آزمایشگاه ساخته شده و دست‌ساز است داشتن امکان ساخت مهارهای انتهایی است که در میله‌های متعارف FRP ممکن نیست.

شش عدد تیر بتون مسلح با مقطع مستطیل شکل، طراحی و ساخته شده که پنج عدد از آنها به روش NSM و با استفاده از میله‌های BMCF با یا بدون مهار انتهایی، مقاوم سازی برشی شده است. در طرح مقاوم سازی نمونه‌ها از درصدهای پایین برای مقاوم سازی استفاده شده تا رفتار جداسازی مستقل میله‌های BMCF حاکم بر رفتار گسیختگی تیرها باشد. برای داشتن شرایط واقعی تر، در همه نمونه‌ها مقدار محدودی آرماتور برشی فولادی داخلی نیز در نظر گرفته شده است. جزئیات انجام آزمایش‌ها و نتایج آنها در این مقاله ارائه می‌شود.

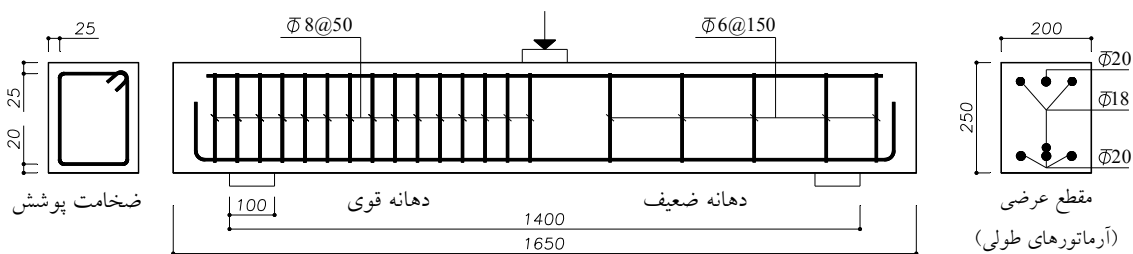
۲- برنامه آزمایشگاهی

برای ارزیابی چگونگی تأثیر میله‌های BMCF در تقویت برشی تیرهای بتون مسلح به روش NSM، شش عدد تیر بتونی با ضعف برشی طراحی می‌شود. در همه نمونه‌ها، ابعاد و همچنین آرماتورگذاری داخلی، یکسان و همانند شکل ۱ در نظر گرفته می‌شود.

مانند بسیاری از آزمایش‌های سایر محققین در پژوهش‌های مشابه [۲۰ و ۲۱]، در طراحی و ساخت نمونه‌ها مقطع مستطیل شکل به کار می‌رود. نیمی از طول هر تیر با ضعف در باربری برشی و تحت عنوان "دهانه ضعیف" و نیم دیگریه عنوان "دهانه قوی" بدون ضعف برشی، طراحی می‌شود. به این ترتیب، مقاوم سازی برشی، تنها در دهانه ضعیف مورد نیاز بوده و دهانه قوی به گونه‌ای طراحی می‌شود که حتی با وجود مقاوم سازی در دهانه ضعیف، گسیختگی در آن رخ ندهد. تجهیزات اندازه‌گیری کرنش روی آرماتورهای برشی و BMCF، برای دهانه

میله‌های BMCF، از چسب دو قسمتی با لزجت پایین، برای آسان کردن ساخت میله‌ها، استفاده می‌شود. بر پایه‌ی دستور کار شرکت سازنده چسب، از نسبت اختلاط ۳ به ۱ (رزین به سخت‌کننده) برای تهیه هر دو نوع چسب، استفاده می‌شود. مشخصات مکانیکی صفحات FRP در جدول ۲ ارائه شده است.

دو قسمتی با لزجت بالا، برای جلوگیری از روان شدن چسب هنگام کار، به کار می‌رود (جزئیات طرح مقاومنسازی و روش ساخت میله‌های BMCF در قسمت‌های بعدی ارائه شده است). بر پایه‌ی اطلاعات شرکت سازنده چسب، مقاومت چسبندگی، فشاری و خمشی متوسط چسب به ترتیب ۱/۵، ۸۰ و ۳۰ مگاپاسکال است. در فرایند ساخت



(۱) جزئیات آرماتورگذاری نمونه‌ها (ابعاد به میلی‌متر)

جدول (۱) مشخصات کلی نمونه‌ها

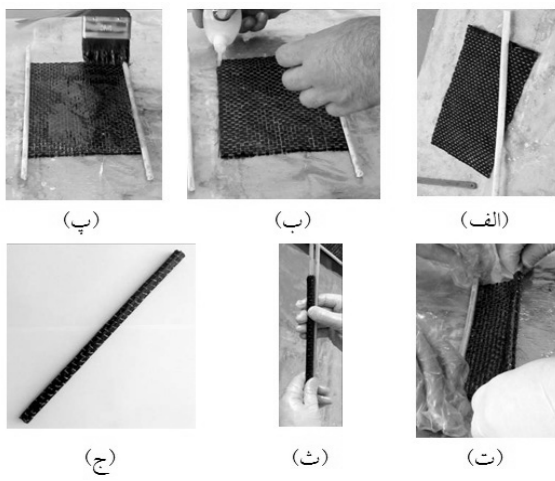
مقاومنسازی در دهانه ضعیف					نمونه
سطح مقطع الیاف در هر میله BMCF (میلی‌مترمربع)	فاصله میله‌ای BMCF در امتداد محور طولی تیر (میلی‌متر)	زاویه نسبت به محور تیر (درجه)	مهار انتهایی		
-	-	-	-	-	مرجع
۱۲	۱۶۰	۹۰	خیر	VB	
۱۲	۲۴۰	۴۵	خیر	IB	
۱۲	۱۶۰	۹۰	بلی	VBA*	
۱۲	۲۴۰	۴۵	بلی	IBA	
۱۲	۱۶۰	۹۰	بلی	VBA-W*	

*تفاوت این دو نمونه در جزئیات مهارهای انتهایی میله‌ها است.

جدول (۲) مشخصات مصالح پایه

مقاومنسازی فشاری (مگاپاسکال)					بتن
۳۶/۴ (در زمان آزمایش ۷۵ روز)		۲۵/۱ (۲۸ روز)			
φ۲۰	φ۱۸	φ۸	φ۶	قطر آرماتور	فلراد
۵۷۰	۴۸۶	۵۴۰	۲۰۳	تش تسليم (مگاپاسکال)	
۶۷۷	۵۷۲	۵۹۸	۲۴۸	تش بیشینه (مگاپاسکال)	
مدول ارتجاعی (مگاپاسکال)	کرنش گسیختگی (%)	مقاومنسازی (میلی‌متر)	ضخامت (میلی‌متر)	نوع FRP	صفحات FRP
۲۳۵	۱/۵	۳۵۵۰	۰/۱۱	کربن مقاومت بالا	

صفحه FRP اضافه شود. شکل ۲-ج میله BMCF را در حالت نهایی خود نشان می‌دهد. یکی از مهم‌ترین مزیت‌های این میله‌ها، داشتن نسبت محیط به مساحت FRP بالا نسبت به میله‌های متعارف FRP است؛ همچنین شکل دایره‌ای آن، نه تنها از لحاظ ساخت، سهولت بیشتری را فراهم می‌کند بلکه بر پایه‌ی یافته‌های Rizzo و DeLorenzis [۱۴] برای مقاوم‌سازی برشی، مناسب‌تر از نوارهای FRP است.



شکل (۲) فرایند ساخت میله‌های BMCF

مشخصات مکانیکی میله‌های BMCF با انجام آزمایش کشش مستقیم روی نمونه‌هایی که مطابق دستور کار ارائه شده در مرجع ۲۱ ساخته شده بودند، بدست می‌آید. نتایج آزمایش، کشش مستقیم مدول ارجاعی میله‌های BMCF را بین ۲۱۵ تا ۲۳۰ گیگاپاسکال نشان می‌دهد. فقط نهایی میله‌های BMCF، حدود ۱۰ میلی‌متر (با وجود ۱ میلی‌متر خطأ) است.

۳-۳- مهار انتهایی پیشنهادی برای میله‌های BMCF

در مقاوم‌سازی برشی به روش NSM، در حالتی که فاصله بین میله‌ها یا نوارهای FRP زیاد است، گسیختگی معمولاً از نوع جدادگی مستقل میله‌های FRP است [۱۶]. برای ایجاد

۲-۳- میله‌های BMCF

میله‌های BMCF سه جزء اصلی دارند: ۱) صفحات الیاف کربن خشک که الیاف آن تنها در یک راستا قرار دارد (یک جهت)، ۲) چسب اپوکسی با لزجت پایین و ۳) میله چوبی کم مقاومت به عنوان هسته مرکزی. برای ساخت میله‌های BMCF، ابتدا صفحات FRP به وسیله‌ی چسب مخصوص، اشباع شده و سپس به دور میله‌های چوبی تابیده می‌شود. در اولین مرحله، پهنانی صفحه FRP بر پایه‌ی سطح مقطع مورد نیاز (حاصل ضرب عرض در ضخامت صفحه FRP) محاسبه می‌شود. طول صفحه FRP به میزان طول میله BMCF انتخاب شده و در نتیجه صفحه FRP با طول و عرض گفته شده مطابق (شکل ۲-الف) بریده می‌شود. در مرحله بعد، میله چوبی، یک طرف صفحه FRP چسبانده شده و چسب دو قسمتی آماده می‌شود. میله چوبی با چسب زودگیر با لزجت پایین به صفحه FRP متصل می‌شود. برای آسان کردن فرایند ساخت، میله چوبی دیگری در طرف دیگر صفحه FRP چسبانده شده (شکل ۲-ب)، سپس صفحه FRP به گونه‌ای یکنواخت با چسب اپوکسی مطابق شکل ۲-پ اشباع شده و به دور میله چوبی اول تابیده می‌شود (شکل ۲-ت). صفحات کربن استفاده شده از نوع یک جهت است که راستای الیاف باید در راستای محور میله قرار بگیرد سپس هوای محبوس بین لایه‌های FRP، با دست، مانند شکل ۲-ث خارج می‌شود. میله ساخته شده برای عمل آوری و رسیدن چسب مقاومت مناسب، پنج روز در دمای اتاق (۲۵ درجه سانتی‌گراد) نگهداری می‌شود.

سرانجام میله چوبی دوم به کمک تیغه ویژه از سایر قسمت‌ها جدا می‌شود. باید توجه داشت که با این کار، بخشی از پهنانی اولیه صفحه FRP (حدود ۱۰ میلی‌متر) بریده می‌شود و لازم است که این عرض به مقدار اولیه عرض

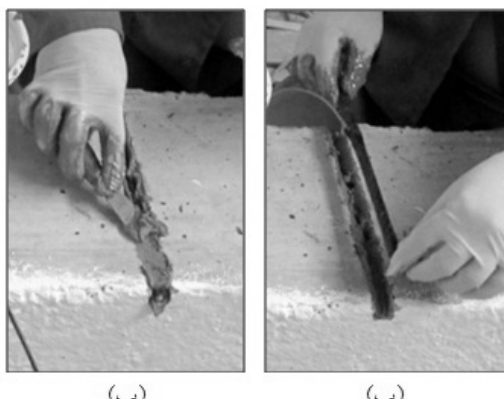
شیارها زدوده می شود.

۳- حدود دو سوم فضای داخلی هر شیار، به وسیله‌ی چسب ویژه (با لزجت بالا) به کمک کاردک پر می شود.

۴- میله BMCF داخل شیار قرار داده شده و با فشار دست کمی به داخل چسب رانده می شود. این کار باعث می شود فضای بین میله BMCF و بتن به طور کامل با چسب پر شودو حفره‌ای ایجاد نشود (شکل ۳-ب).

۵- شیار به طور کامل با چسب پر شده و سطح آن با سطح بتن اطراف همتراز می شود (شکل ۳-پ).

۶- نمونه‌ها در کمترین حالت، پنج روز در دمای اتاق نگهداری می شوند تا چسب به مقاومت نهایی خود برسد.



شکل (۳) روش مقاآم سازی؛ الف: شیارزنی، ب: قراردادن میله BMCF داخل شیاری که دو سوم آن آغشته به چسب است، پ: پر کردن شیار با چسب

در همه نمونه‌ها، تجهیزات اندازه‌گیری کرنش (کرنش سنجه) روی میله‌های BMCF، آرماتورهای فولادی

تأخیر و تا اندازه‌ای جلوگیری از وقوع این گسیختگی، در این پژوهش مهار انتهایی جدیدی برای میله‌های BMCF ارائه شده است. برای ساخت این مهارها، در اولین گام، میله‌های BMCF با الیاف خشک اضافی در دو انتها ساخته می شود. سپس الیاف خشک با چسب (با لزجت پایین) اشباع شده و دور میله چوبی دیگری تابیده می شوند. جزئیات کامل روند ساخت مهار انتهایی در مرجع ۲۳ آمده است.

از مهم‌ترین مزیت‌های مهار انتهایی پیشنهادی آن است که برای نصب آن، دسترسی به جوانب تیر کافی است. همچنین مهارهای انتهایی پیشنهادی باعث افزایش تماس میله‌های BMCF با تیر می شود که با هدف به تأخیر انداختن پدیده جداشدگی میله‌های BMCF از تیر اتفاق می‌افتد و در آزمایش‌های این پژوهش، بررسی می شود.

لازم است گفته شود که در ساخت مهار انتهایی برای میله‌های BMCF در تیر VBA-W، برای آسان‌سازی فرایند ساخت مهار انتهایی، ۳۰ درصد الیاف به کاررفته در ساخت میله، در قسمت مهار انتهایی آن حذف می شود. به عبارت دیگر، در مهار انتهایی نمونه VBA-W، تنها ۷۰ درصد الیاف به کاررفته در ساخت میله BMCF، به کار می‌رود.

۴- جزئیات مقاآم سازی و نصب تجهیزات اندازه‌گیری

مقاآم سازی نمونه‌ها مطابق مراحل زیر انجام می شود:

۱- شیارزنی روی سطوح جانبی تیر در دهانه ضعیف با دستگاه شیارزن مجهر به تیغه الماسه، مطابق شکل ۳-الف انجام می شود. همه شیارها با مقطع مربعی به ابعاد 15×15 میلی‌متر ایجاد می شوند.

۲- وجود گرد و غبار ناشی از ایجاد شیارها، از ایجاد چسبندگی مناسب بین چسب و بتن جلوگیری می‌کند. در نتیجه، گرد و غبار موجود به وسیله‌ی هوای فشرده، از داخل

ضعیف و در بارهای ۱۲۹ و ۱۳۰ کیلونیوتن به ترتیب در نمونه‌های VB و IB پیدار شده است. پس از آن، ترک‌های برشی به تدریج در دهانه ضعیف در بازه‌ی وسط تیر ظاهر شده است. دو نمونه VB و IB به ترتیب در بارهای ۳۳۰/۷۶ و ۳۴۳/۷۱ کیلونیوتن، دچار گسیختگی برشی شده است (شکل‌های ۴-ب و ۴-پ). عامل اصلی گسیختگی این دو نمونه، جداشدنگی میله‌های BMCF است که البته مشابه جداشدنگی کامل و مشخصی که در مقاوم‌سازی برشی به روش EB اتفاق می‌افتد [۹]، نبوده است. مشاهدات و بررسی‌های انجام‌شده پس از آزمایش نشان می‌دهد برخی از میله‌های BMCF همراه بتن اطرافش از تیر جدا شده است؛ به این ترتیب کارکرد یکپارچه میله‌های BMCF و تیر، از دست رفته است. همان‌گونه که در شکل‌های ۴-ب و ۴-پ دیده می‌شود، ترک‌های برشی که در سمت ضعیف تیر IB رخ داده است تا حدی بیشتر از ترک‌های برشی نمونه VB است و بازشدگی ترک‌ها نیز در نمونه IB کمتر است که بیانگر کارکرد بهتر میله‌های BMCF مورب (با زاویه ۴۵ درجه) نسبت به میله‌های قائم در مهار و کنترل ترک‌های برشی است. نتایج آزمایش‌ها در جدول (۳) آمده است.

۱-۳-۳- نمونه‌های IBA و VBA

الگوی ترک خوردگی ابتدایی این تیرها که به‌وسیله‌ی میله‌های BMCF با مهار انتهایی مقاوم‌سازی شده است، بسیار مشابه تیرهای VB و IB است. اولین ترک‌های برشی در دهانه ضعیف و به ترتیب در بارهای ۱۲۰ و ۱۳۸ کیلونیوتن در نمونه‌های VBA و IBA ایجاد شده است. سپس، ترک‌های برشی بیشتری در دهانه ضعیف رخ داده است تا سرانجام این دو تیر در بارهای ۳۷۱/۸۲ و ۳۹۱/۵۹ کیلونیوتن به ترتیب در نمونه‌های VBA و IBA دچار

طرف ضعیف و همچنین بتن فشاری (در جوانب تیر، زیر محل بارگذاری) نصب می‌شود. برای اندازه‌گیری تغییر مکان و سط تیر، تغییرمکان سنج^۱ (LVDT) در زیر تیر قسمت میانی قرار می‌گیرد.

بارگذاری به‌وسیله‌ی یک دستگاه جک هیدرولیک با ظرفیت ۵۰۰ کیلونیوتن و به روش کنترل تغییر مکان، انجام می‌شود. در فواصل منظم، روند بارگذاری به مدت کوتاه متوقف می‌شود تا امکان مشخص کردن ترک‌ها فراهم آید. تغییرمکان‌ها و تغییرات کرنش به‌وسیله دستگاه ثبت اطلاعات با نرخ ثابت یک داده در ثانیه، ذخیره می‌شود.

۵- نتایج آزمایش‌ها

۱-۵- رفتار کلی و مدهای گسیختگی

۱-۱-۵- نمونه مرجع

در بار ۵۰ کیلونیوتن، ترک‌های خمشی، وسط دهانه تیر مرجع دیده شده است. اولین ترک برشی مایل، وسط دهانه ضعیف در بار ۱۰۳ کیلونیوتن دیده شده است و پس از آن، ترک‌های برشی‌خمشی در طرف ضعیف توسعه یافته است؛ تا بار ۲۱۱ کیلونیوتن، این ترک‌ها گسترش یافته و عریض‌تر شده است تا یک ترک برشی مشخص در طرف ضعیف به‌تدریج مشاهده شود.

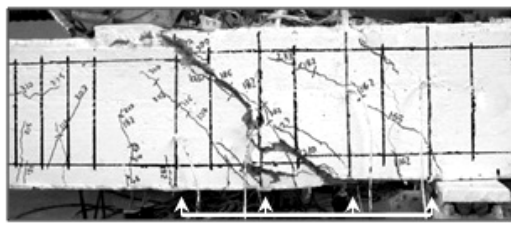
سرانجام در بار ۲۶۳/۹۴ کیلونیوتن با شکل‌گیری کامل ترک برشی، مطابق شکل (۴-الف)، تیر دچار گسیختگی برشی شده است.

۲-۱-۵- نمونه‌های VB و IB

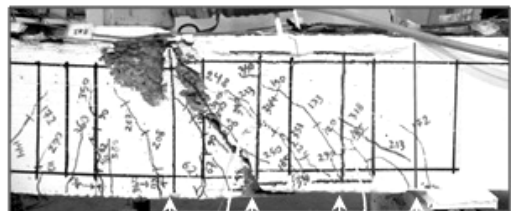
در این تیرها که با میله‌های BMCF بدون مهار انتهایی مقاوم‌سازی شده است، شکل اولیه ترک خوردگی تقریباً مشابه نمونه مرجع است. اولین ترک‌های برشی در دهانه

نمونه‌های VB و IB، نمونه VBA و IBA افزون بر آن که قبل از گسیختگی تیر ترک‌های برشی بسیار زیادتری داشته، متholm ترک‌های خمشی بیشتری در وسط دهانه خود نیز شده است که نشان‌دهنده تأثیر بیشتر مقاومنسازی برشی با میله‌های مهاردار، در مقایسه با میله‌های ساده، در به تعویق انداختن گسیختگی برشی و تا حدی ایجاد رفتار خمشی در تیرها است.

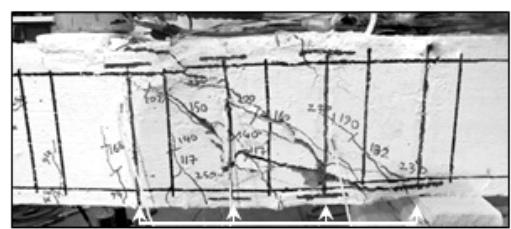
در این دو نمونه، پس از شکل‌گیری ترک برشی اصلی، جدا شدن بخش‌های چشم‌گیری از بتن پوشش جوانب تیر باعث گسیختگی کلی و افت بار در این نمونه‌ها شده است. در جدول ۳ دیده می‌شود که وجود مهارهای انتهایی باعث افزایش باربری و تغییر مکان نهایی نمونه‌ها (این تغییر مکان متناظر با بار نهایی است) شده است.



(ب): نمونه VB



(ت): نمونه VBA



(ج): نمونه VBA-W

گسیختگی برشی شدند. شکل‌های ۴-ت و ۴-ث، وضعیت این نمونه‌ها را پس از گسیختگی نشان می‌دهند.

جداشدگی میله‌های BMCF این دو نمونه، مشابه آنچه در نمونه‌های VB و IB مشاهده می‌شود، رخ نداده است. در نمونه VBA، ترک برشی اصلی که منجر به گسیختگی شده است، در حد فاصل محل بارگذاری و میله BMCF کنار آن رخ داده است. بنابراین، ترک برشی، هیچ کدام از میله‌های BMCF را قطع نکرده است (شکل ۴-ت).

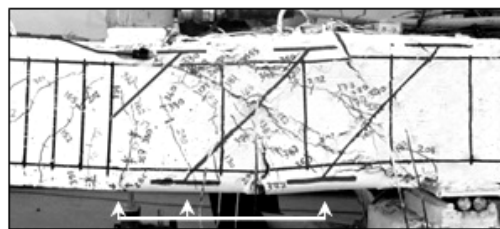
نتیجه می‌شود که مهارهای انتهایی در کنترل بازشدگی ترک‌های متقطع با میله‌های BMCF مؤثر بوده است؛ بهگونه‌ای که ترک برشی نهایی بر خلاف نمونه VB که با میله BMCF متقطع است، به خارج از ناحیه عبور میله‌های BMCF هدایت شده است. در مقایسه با



(الف): نمونه صریح



(پ): نمونه IB



(ث): نمونه IBA

شکل (۴) الگوی ترک‌خوردگی نمونه‌ها در دهانه ضعیف (موقعیت میله‌های BMCF با پیکان نشان داده شده است)

جدول (۳) نتایج آزمایش‌ها

تأثیر مهار انتهایی (%)			افزایش نسبت به نمونه مرجع (%)		θ_f	V_f	A_u	P_U	A_{cr}	P_{cr}	نمونه
V_f	افزایش تغییر مکان (متناظر با بار بیشینه)	افزایش در بار بیشینه (متناظر با بار بیشینه)	تغییر مکان (در بار بیشینه)	بیشینه بار	°	کیلونیوتون	میلی متر	کیلونیوتون	میلی متر	کیلونیوتون	
-	-	-	-	-	۲۲	-	۵/۹۸	۲۶۳/۹۴	۰/۷۳	۵۰	مرجع
-	-	-	۱۳/۷	۲۵/۳	۴۰	۳۳/۴۱	۶/۸۰	۳۳۰/۷۶	۰/۷۰	۴۸	VB
۶۱/۴۰	۷۵/۰	۱۲/۴۱	۹۸/۹	۴۰/۸	۵۷	۵۳/۹۴	۱۱/۹۰	۳۷۱/۸۲	۰/۷۹	۴۰	VBA
-	-	-	۱۶/۳	۳۰/۲	۲۸	۳۹/۸۸	۷/۹۶	۳۴۳/۷۱	۱/۰۱	۷۷	IB
۶۰/۰۲	۳۹/۴	۱۳/۹۳	۶۲/۲	۴۸/۴	۲۵	۶۳/۸۲	۹/۷۰	۳۹۱/۵۹	۰/۷۸	۵۰	IBA
افزایشی نسبت به نمونه VB مشاهده نشد			۲۲/۳	۳۲	۲۹/۴۰	۵/۹۶	۳۲۲/۷۴	۰/۸۱	۴۸	VBA-W	

P_f : بار ترک خوردگی؛ P_{cr} : تغییر مکان متناظر با P_f ؛ P_u : مقاومت نهایی؛ P_{cr} : تغییر مکان متناظر با P_u ؛ P_c : سهم میله‌های BMCF از

برش؛ α : زاویه ترک بحرانی؛ * تأثیر مهار انتهایی: به معنی افزایش پارامترهای مربوطه در نمونه‌های VBA و VBA-W IBA و

به نمونه‌های VB، IB و VB است. برای نمونه، افزایش V_f در نمونه VBA نسبت به نمونه VB به این صورت محاسبه می‌شود:

$$100 = \frac{61/4}{(33/41) \times (53/94 - 33/41)}$$

۲-۵- تغییرات کرنش و تغییر مکان

برای بررسی میزان تأثیر الگوهای مختلف مقاوم سازی، ظرفیت باربری همهٔ نمونه‌ها با نمونه مرجع مقایسه شده است. شکل ۵، منحنی نیروی اعمال شده به تیرها در مقابل تغییر مکان وسط دهانه آن‌ها را نمایش می‌دهد. همان‌گونه که در این شکل دیده می‌شود، تغییرات اساسی نمودارها بیشتر معطوف به میزان باربری و تغییر مکان وسط دهانه نمونه‌ها در لحظه گسیختگی بوده است. میزان کرنش متناظر با بار بیشینه در آرماتورهای برشی فولادی نمونه‌های تقویت شده، کمتر از نمونه مرجع بوده است که دلیل اصلی آن مشارکت میله‌های BMCF در باربری برشی است. مهارهای تعبیه شده در انتهای میله‌های BMCF، سبب مشارکت بیشتر سامانه مقاوم سازی شده است؛ به گونه‌ای که در نمونه‌های VBA و IBA کرنش آرماتورهای برشی فولادی داخلی حتی در بارهای نزدیک به بار نهایی تیر نیز ناچیز است (در مقایسه با نمونه‌های VB و IB).

۴-۱-۵- نمونه VBA-W

همان‌گونه که پیش‌تر توضیح داده شد، این نمونه مشابه نمونه VBA است؛ با این تفاوت که در ساخت مهارهای انتهایی میله‌های BMCF آن، ۳۰ درصد کاهش در میزان الیاف درنظر گرفته شده است. اولین ترک برشی این نمونه در دهانه ضعیف و در بار ۱۱۷ کیلونیوتون دیده شده است. از بار ۱۹۰ کیلونیوتون و تا رسیدن بار به ۲۶۰ کیلونیوتون، این ترک‌ها در دو راستای خود (به سمت تکیه‌گاه و به سمت محل بار) گسترش یافته است.

سپس ضمن افزایش عرض ترک‌های قبلی، ترک‌های برشی جدیدی نیز در دهانه ضعیف ایجاد شده تا این‌که یک ترک برشی مشخص از تکیه‌گاه به سمت محل اعمال بار شکل گرفته است. سرانجام این تیر در بار ۳۲۲/۷ کیلونیوتون، به خاطر پارگی در محل اتصال میله BMCF و مهار انتهایی، دچار گسیختگی برشی شده است. هر چند در این طرح از مهارهای انتهایی برای مقاوم سازی تیراستفاده شده ولی هیچ افزایشی در ظرفیت باربری این تیر دیده نشد (جدول (۳)).

جدول ۵ نشان می‌دهد که هر کدام از روش‌های مقاوم‌سازی، چقدر انرژی لازم برای تخریب نمونه را بالا می‌برند.

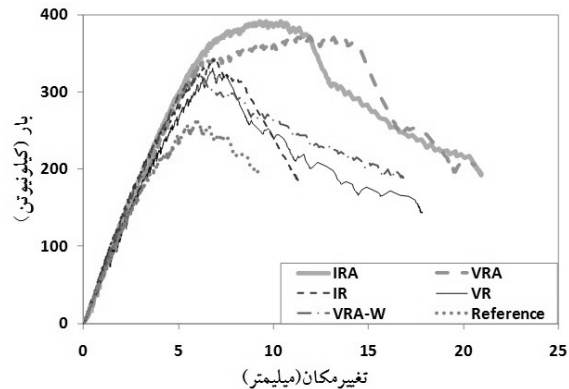
۶- پیش‌بینی مشارکت میله‌های BMCF در ظرفیت برشی

در این قسمت نتایج به دست آمده از روش تحلیلی [۲۲] برای پیش‌بینی میزان مشارکت میله‌های BMCF در برابری برشی میله‌های ارائه می‌شود. این روش در حالت کلی برای محاسبه میزان مشارکت میله‌ها یا نوارهای FRP در روش NSM ارائه شده است. توضیح و جزئیات این روش در مرجع ۲۲ آمده است و در اینجا تنها خلاصه‌ای از آن بیان می‌شود و سپس نتایج حاصل از آن با نتایج آزمایشگاهی مقایسه می‌شوند. رابطه تحلیلی ارائه شده به وسیله‌ی Rizzo و DeLorenzis [۲۲] با رابطه ۱ بیان می‌شود:

$$V_{f,ana} = 2 \cdot \sum_{i=1}^{N_f} L_{fi} \cdot (\pi \cdot d_f) \cdot \tau_b \cdot \sin(\theta_f) \quad (1)$$

فرضیات اساسی در نظر گرفته شده در این مدل عبارت است از:

- الف) در نظر گرفتن زاویه تمایل ترک‌های برشی به اندازه ۴۵ درجه؛
- ب) پخش یکنواخت تنش‌های چسبندگی در طول میله FRP در لحظه نهایی و



شکل (۵) منحنی نیرو-تغییرمکان وسط دهانه نمونه‌ها

جدول ۴، مقادیر کرنش در میله‌های BMCF را ارائه کرده است. در این جدول مشاهده می‌شود که مقادیر کرنش قابل ملاحظه‌ای در میله‌های BMCF متقطع با ترک برشی اصلی، ایجاد شده است.

کرنش بتن فشاری وسط دهانه در مقابل بار اعمال شده به تیر، در جدول ۴ به نمایش درآمده است. همان‌گونه که دیده می‌شود، کرنش بتن فشاری در نمونه‌های مقاوم‌سازی شده با میله‌های BMCF مهاردار به مرتب بیشتر از سایر نمونه‌ها بوده است.

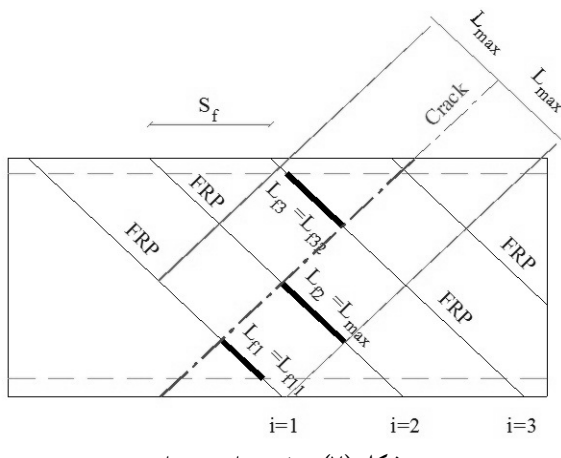
۳-۵ انرژی جذب شده

معیار انرژی جذب شده از دیدگاه کارکرد در زلزله و همچنین شکل‌پذیری، ارزش ویژه‌ای دارد. در شکل ۶، تغییرمکان وسط تیر در مقابل سطح زیر منحنی نیرو-تغییر مکان تا لحظه باربری بیشینه برای هر نمونه نشان داده شده است.

جدول (۴) کرنش در تیرهای مقاوم‌سازی شده در حالت نهایی

BMCF						نمونه
کرنش در بتن فشاری	بیشینه (میکروکرنش)	افزایش کرنش متوسط (%)	میانگین (میکروکرنش)	بیشینه (میکروکرنش)	کمینه (میکروکرنش)	
-	۲۳۶۵	-	۴۶۲۰	۷۶۲۲	۱۶۱۹	VB
۹۲/۱	۴۵۴۵	۵۲/۶	۷۰۵۴	۸۸۰۱	۵۳۰۸	VBA
-	۲۷۷۳	-	۴۸۱۰	۸۱۰۵	۱۱۸۵	IB
۵۶/۵	۴۳۴۰	۲۵/۲	۶۰۲۳	۸۶۸۳	۲۶۹۵	IBA

برشی مطابق شکل ۷ برابر فاصله بین نوارهای FRP، S_f فرض می‌شود. مقدار L_{fi} همچنین به مقدار بدست آمده از رابطه (۲) محدود می‌گردد (در این رابطه مقدار 0.0059 توسط Barros and Dias [۱۷] پیشنهاد شده است). با توجه به موارد فوق، مقدار L_{fi} از رابطه (۳) بدست می‌آید.

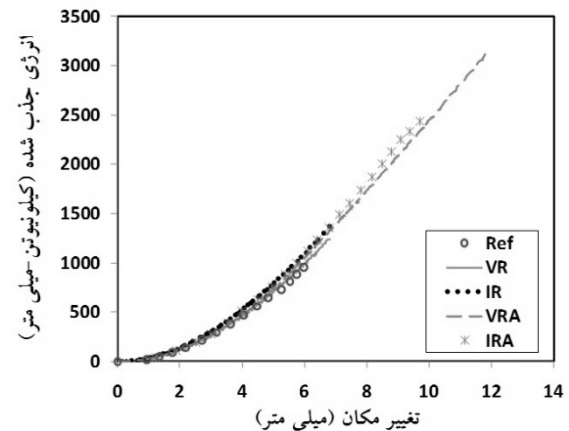
شکل (۷) روش محاسبه L_{fi}

$$L_{max} = 0.0059 \frac{d_f E_f}{4 \tau_b} \quad (2)$$

$$L_{fi} = \min[L_{fi1}, L_{fi2}, L_{max}] \quad (3)$$

که E_f مدول الاستیسیته مصالح FRP و L_{f1} و L_{f2} طولهای میله FRP در طرفین ترک برشی هستند که فاصله پوشش بتن از آنها کسر شده است (L_{fi1} معرف قسمت زیر ترک و L_{fi2} معرف قسمت بالای ترک است).

جدول (۶) مقادیر بدست آمده از رابطه (۱) را در مقابل نتایج آزمایشگاهی نشان می‌دهد. روش تحلیلی مطرح شده قابل استفاده برای میله‌های BMCF مهاردار نمی‌باشد. در



شکل (۶) سطح زیر منحنی نیرو تغییر مکان (انرژی جذب شده) در برابر تغییر مکان

جدول (۵) انرژی جذب شده نمونه‌ها

انرژی جذب شده	انرژی جذب شده (کیلونیوتن-میلی متر)	نمونه
نسبت به نمونه بدون مهارانهایی	نسبت به نمونه مرجع	
-	-	۹۵۵
-	۱/۲۹	۱۲۳۷
۲/۵۴	۳/۳۰	۳۱۴۹
-	۱/۴۷	۱۴۰۳
۱/۷۵	۲/۵۶	۲۴۵۱

پ) فرض وجود تنش یکنواخت گام قبلی در همه میله‌های FRP متقطع با ترک برشی در لحظه نهایی. دو فرض آخر به معنی پذیرفتن رفتار چسبندگی - لغزش به صورت کاملاً پلاستیک ایده‌آل است.

در این رابطه، $V_{f,ana}$ ، میزان مشارکت میله‌های FRP در باربری برشی، τ_b ، تنش چسبندگی متقطع بین FRP و اپوکسی، N_f ، تعداد نوارهای FRP متقطع با ترک برشی در یک طرف جان و L_{fi} طول قسمت کوتاه‌تر FRP است که در دو طرف یک ترک برشی قرار می‌گیرد (شکل ۷).

در محاسبه L_{fi} آن قسمت از طول نوارهای FRP که در بازه‌ی پوشش (کاور) بالایی یا پائینی تیر قرار می‌گیرند در محاسبات وارد نمی‌شوند. فاصله اولین نوار FRP با ترک

۶-۱- مقایسه نتایج تحلیلی و آزمایشگاهی

جدول (۶) مقادیر بدست آمده از رابطه (۱) را در مقابل نتایج آزمایشگاهی نشان می‌دهد. روش تحلیلی مطرح شده قابل استفاده برای میله‌های BMCF مهاردار نمی‌باشد. در

۲- در قیاس با نمونه مرجع، نمونه‌های مقاومنسازی شده با میله‌های BMCF بدون مهار انتهایی (نمونه‌های VB و IB) منجر به افزایش ۲۵ تا ۳۰ درصدی در برابری نهایی تیر شده‌اند. میزان افزایش برابری در نمونه‌های مقاوم شده با میله‌های BMCF با مهار انتهایی (نمونه‌های VBA و IBA) بین ۴۱ تا ۴۸ درصد حاصل شده است.

۳- در نمونه‌های مقاوم سازی شده با میله‌های BMCF با مهار انتهایی، ترک‌های خمشی قابل ملاحظه‌ای در وسط دهانه تیر تا قبل از لحظه گسیختگی، در قیاس با نمونه‌های مقاومنسازی شده با میله‌های BMCF بدون مهار انتهایی، مشاهده شده است. همچنین وجود مهارهای انتهایی منجر به افزایش کرنش در میله‌های BMCF شده است به طوریکه متوسط بیشینه کرنش‌های ثبت شده در میله‌های BMCF با مهارهای انتهایی در نمونه‌های VBA و IBA به ترتیب ۵۲ و ۷۲ درصد نسبت به نمونه‌های VB و IB افزایش داشته است.

۴- انرژی جذب شده نهایی (متناظر با بار بیشینه) در نمونه‌های با میله‌های BMCF مهاردار نسبت به نمونه‌های با میله‌های BMCF مستقیم بین ۱/۷۵ تا ۲/۵۴ بدست آمده است. همچنین مشارکت میله‌های BMCF مهاردار در برابری برخی ۶۰ درصد بیشتر از میله‌های BMCF مستقیم بوده است.

۵- گسیختگی نهایی در نمونه‌های VB و IB اغلب ناشی از جداشدن میله‌های BMCF بوده است درحالی که در نمونه‌های VBA و IBA گسیختگی کلی ابتدا بواسطه ترک خوردگی کلی تیر و از دست رفتن مقاومت برخی بتن بوده و سپس میله‌های BMCF مهاردار به همراه بخش‌هایی از بتن پوشش آرماتورها از جوانب تیر جدا شده‌اند.

۶- آرماتورهای برخی فولادی واقع در وسط دهانه ضعیف در همه نمونه‌ها قبل از گسیختگی نهایی تیر به مرز تسليم

نتیجه، نتایج تنها برای نمونه‌های VB و IB که در آنها از میله‌های BMCF بدون مهار انتهایی استفاده شده است، ارائه می‌شود. در مورد میله‌های مهاردار، بر مبنای نتایج مندرج در جدول (۳) می‌توان گفت این میله‌ها نسبت به میله‌های ساده ۶۰ درصد بیشتر در برابری برخی مشارکت نشان می‌دهند. به عبارتی برای محاسبه میزان مشارکت برخی میله‌های مهار دار می‌توان میزان مشارکت برای حالت بدون مهار را محاسبه کرد و نتیجه را در ضرب ۱/۶ ضرب کرد. البته تعمیم این روش نیاز تحقیقاتی بیشتری را طلب می‌کند و تنها با تکیه بر یافته‌های تحقیق حاضر نمی‌توان این روش را تأیید کرد. نتایج مندرج در جدول (۶) حاکی از تخمین قابل قبول و البته تاحدی محافظه کارانه روش تحلیلی پیشنهادی می‌باشدند.

جدول (۶) مقایسه نتایج تحلیلی و آزمایشگاهی

نام نمونه	نتایج آزمایشگاهی V_f,ana (کیلونیوتن)	نتایج تحلیلی V_f,ana (کیلونیوتن)	نسبت نتایج تحلیلی به آزمایشگاهی
VB	۳۳/۴۱	۳۱/۸۶	۰/۹۵
IB	۳۹/۸۸	۲۲/۵۲	۰/۵۶

۷- نتیجه‌گیری

در این مقاله نتایج آزمایشگاهی تیرهای بتن مسلح مقاومنسازی شده در برش به روش NSM با استفاده از میله‌های ابداعی BMCF به تفضیل ارائه شد. همچنین سیستم مهار انتهایی پیشنهادی برای میله‌های BMCF مورد ارزیابی قرار گرفت. مهمترین نتایج حاصله به شرح زیر می‌باشد:

۱- نتایج آزمایش‌ها نشان دهنده عملکرد مطلوب میله‌های BMCF ارائه شده در مقاومنسازی برخی تیرهای بتن مسلح می‌باشد. همچنین مهار انتهایی ارائه شده برای میله‌های BMCF باعث بهبود رفتار میله‌های BMCF شده است.

کیفیت کار را فراهم نمودند تشكیر و قدردانی می‌شود. همچنین از شرکت پایا ساز آژند به خاطر فراهم کردن مصالح چسب و اپوکسی تشكیر می‌شود.

۹- مراجع

- [1] American Concrete Institute. ACI Committee 440. "Guide for the design and construction of externally bonded FRP system for strengthening concrete structures". Farmington Hills, MI: ACI 440.2R-08; 2008.
- [2] Teng J.G., Chen J.F., Smith S.T., Lam L. "Behaviour and strength of FRP-strengthened RC structures: a state-of-the-art review". Proceedings of the Institution of Civil Engineers– Structures and Buildings 2003;156(SB1); 51-62.
- [3] Hollaway L.C., Teng J.G. "Strengthening and rehabilitation of civil infrastructures using fibre-reinforced polymer (FRP) composites". Cambridge, UK:Woodhead Publishing Limited; 2008.
- [4] El-GhandourA.A."Experimental and analytical investigation of CFRP flexural and shear strengthening efficiencies of RC beams". Construction and Building Materials, 2011;25(3):1419-29.
- [5] Chen J.F., Teng J.G. "Shear capacity of FRP strengthened RC beams: fibre reinforced polymer rupture". Journal of Structural Engineering ASCE, 2003;129(5):615-25.
- [6] Chen J.F., Teng J.G. "Shear capacity of FRP strengthened RC beams: FRP debonding". Construction and Building Materials, 2003; 17 (1):27-41.
- [7] Teng J.G., Lam L., Chen J.F. "Shear strengthening of RC beams using FRP composites". Progress in Structural Engineering Material, 2004;6:173-84
- [8] Adhikary B.B, Mutsuyoshi H., Sano M. "Shear strengthening of reinforced concrete beams using steel plates bonded on beam web: experiments and analysis". Construction and Building Materials, 2000;14(5):237-44.
- [9] Teng JG, Chen JF, Smith ST, Lam L. "FRP-strengthened RC structures". Chichester, UK:

رسیده‌اند. به هر حال این مطلب تابعی از درصد تسليح به مصالح FRP و/یا درصد آرماتورهای برشی فولادی موجود در تیر بوده و البته نیاز تحقیقاتی بیشتری در این ارتباط احساس می‌شود.

۷- کاهش سطح مقطع الیاف FRP در محل مهارهای انتهایی میله‌های BMCF در نمونه VBA-W منجر به گسیختگی محل اتصال مهارهای انتهایی به میله‌های BMCF شده است و بهبودی در نتایج نهایی نمونه VBA-W نسبت به نمونه VB مشاهده نشده است. در نتیجه کاهش میزان الیاف FRP در قسمت مهار انتهایی توصیه نمی‌شود.

۸- نتایج بدست آمده در این تحقیق مربوط به مشاهدات حاصل از آزمایش ۶ نمونه تیر بزرگ قیاس بود و به منظور مشخص شدن جنبه‌های مختلف رفتار میله‌ها و مهارهای پیشنهادی و تعیین نتایج آن، انجام آزمایش‌های تکمیلی با درصدهای مختلف میله‌های BMCF، بررسی اثر مقاومت فشاری بتن بر نتایج حاصله و بررسی استفاده از میله‌های BMCF بر روی تیرهای T شکل به عنوان نیازهای تحقیقاتی آتی قابل طرح می‌باشد.

۹- رابطه تحلیلی پیشنهاد شده توسط Rizzo and DeLorenzis تخمین قابل قبول و البته تا حدی محافظه‌کارانه از میزان مشارکت برشی سیستم NSM-BMCF ارائه کرده است که البته تحقیقات بیشتری در این زمینه مورد نیاز می‌باشد. در خاتمه یادآور می‌شود میله‌های BMCF پیشنهادی و مهارهای انتهایی آنها در این تحقیق به روش دست ساز ساخته شده‌اند که البته امکان ساخت و تولید ماشینی آن نیز امکان‌پذیر می‌باشد.

۸- تقدیر و تشكیر

از جناب آقای پروفسور جیان‌فی چن محقق محترم دانشگاه ادینبرو با نظرات و پیشنهادات موثر خود موجبات بهبود

- [17] Barros J.A.O, Dias S.J.E. "Near surface mounted CFRP laminates for shear strengthening of concrete beams". *Cement and Concrete Composites*, 2006;28(3):276–92.
- [18] Rahal K.N, Rumaih H.A. "Tests on reinforced concrete beams strengthened in shear using near surface mounted CFRP and steel bars". *Engineering Structures*, 2011;33(1):53-62.
- [19] Anwarul-islam A.K.M. "Effective methods of using CFRP bars in shear strengthening of concrete girders". *Engineering Structures*, 2009;31(3):709-14.
- [20] AL-Mhammoud F., Castel A., François R., Tourneur C. "Strengthening of RC members with near-surface mounted CFRP rods". *Composite Structures*, 2009;91(2):138-47.
- [21] Sharbatdar M.K. "Concrete columns and beams reinforced with FRP bars and grids under monotonic and reversed cyclic loading". PhD Thesis, University of Ottawa, Canada 2003.
- [22] Rizzo A, DeLorenzis L. "Modeling of debonding failure for RC beams strengthened in shear with NSM FRP reinforcement". *Construction and Building Materials*, 2009; 23(4):1568–77.
- [۲۳] جلالی میثم، شریتدار محمد کاظم، جندقی علایی فرشید.
"ساخت و ارائه مهار انتهایی برای میله های پلیمری
مسلح به الیاف به منظور مقاوم سازی برشی تیرهای بتن
مسلح". سازمان ثبت اسناد و املاک کشور، اداره ثبت
اختراعات. ۱۳۹۰، ۷۳۹۱۸.
- John Wiley and Sons Inc;2002.
- [10] Chen J.F, Teng J.G. "Anchorage strength models for FRP and steel plates bonded to concrete". *Journal of Structural Engineering ASCE*, 2001;127(7):784-91.
- [11] Cao S.Y., Chen J.F., Teng J.G., Hao Z., Chen J. "Debonding in RC beams shear strengthened with complete FRP wraps". *Journal of Composites for Construction ASCE*, 2005;9(5):417-28.
- [12] De Lorenzis L., Teng J.G. "Near-surface mounted FRP reinforcement: an emerging technique for strengthening structures". *Composites Part B:Engineering*, 2007;38:119–43.
- [13] DeLorenzisL., Nanni A. "Characterization of FRP rods as near-surface mounted reinforcement". *Journal of Composites for Construction*, 2001;5(2):114-21.
- [14] Rizzo A., De Lorenzis L. "Behaviour and capacity of RC beams strengthened in shear with NSM FRP reinforcement". *Construction and Building Materials*, 2009;23(4):1555–67.
- [15] Dias S.J.E., Barros J.A.O. "Shear strengthening of T cross section reinforced concrete beams by near surface mounted technique". *Journal of Composites for Construction ASCE*, 2008;12(3):300-11.
- [16] Dias S.J.E., Barros JAO. "Performance of reinforced concrete T beams strengthened in shear with NSM CFRP laminates". *Engineering Structures*, 2010;32(2):373-84.